

Determination of Effective Electron Source Position for Beam Shaper Applicator in Intraoperative Radiotherapy

Nematollah Heidarloo¹, Hamid Reza Baghani², Seyed Mahmoud Reza Aghamiri³

1. Ph.D. Candidate, Department of Medical Radiation Engineering, Faculty of Nuclear Engineering, Shahid Beheshti University, Tehran, Iran. ORCID ID: 0000-0003-0091-0357

2. Assistant Professor, Physics Department, Faculty of Science, Hakim Sabzevari University, Sabzevar, Iran., (Corresponding Author), Tel: +98-51-44013216, Email: h.baghani@hsu.ac.ir, ORCID ID: 0000-0003-0392-9192

3. Professor, Department of Medical Radiation Engineering, Faculty of Nuclear Engineering, Shahid Beheshti University, Tehran, Iran. ORCID ID: 0000-0002-5080-0482

ABSTRACT

Background and Aim: Beam shaper applicator is one of the dedicated applicators for intraoperative electron radiotherapy which is usually employed for large tumors irradiation. Due to the high weight and lack of possibility of direct placement on the patient's body, a considerable air gap exists between the applicator and patient. Therefore, determination of the effective position of electron source (SSD_{eff}) is absolutely necessary to correct the applicator output for air gap effect and accurate delivery of the prescribed dose to the patient. The aim of this study was to determine the SSD_{eff} for all square fields of beam shaper applicator at different electron energies using Monte Carlo (MC) simulation.

Materials and Methods: At first, the head of LIAC accelerator and beam shaper applicator were simulated by MCNPX MC code and then, the validity of the simulated model was evaluated through comparing the calculated percentage depth dose (PDD) curves at different field sizes and energies with the corresponding practical values. After verifying the simulated model, the SSD_{eff} was determined for different field sizes and electron energies using inverse square law (ISL) method.

Results: The results showed that the SSD_{eff} is a function of electron energy and radiation field size. Dependency of SSD_{eff} on field size variations was much more than that on the alterations in the electron energy. Generally, increase in the field size or electron energy led to increase in SSD_{eff} .

Conclusion: The determined SSD_{eff} values for the electron beam of the beam shaper applicator in our study, can be used to correct the electron beam output for clinical purposes.

Keywords: Effective position of electron source (SSD_{eff}), Intraoperative radiotherapy, Beam shaper applicator, Monte Carlo simulation, LIAC dedicated accelerator

Received: Feb 24, 2019

Accepted: April 17, 2021

How to cite the article: Nematollah Heidarloo, Hamid Reza Baghani, Seyed Mahmoud Reza Aghamiri. Determination of effective electron source position for beam shaper applicator in intraoperative radiotherapy. *SJKU* 2021;26(4):80-92.

تعیین موقعیت مؤثر چشمکه الکترون برای اپلیکاتور Beam shaper در پرتو درمانی حین عمل

نعمت الله حیدرلو^۱، حمید رضا باغانی^۲، سید محمود رضا آقامیری^{۳*}

۱. کاندیدای دکتری، گروه مهندسی پرتوپزشکی، دانشکده مهندسی هسته‌ای، دانشگاه شهید بهشتی، تهران، ایران. کد ارجمند: ۰۰۰۰۰۰۹۱-۰۳۵۷

۲. استادیار، گروه فیزیک، دانشکده علوم، دانشگاه حکیم سبزواری، سبزوار، ایران (نویسنده مسئول)، تلفن: ۰۵۱-۴۴۰۱۳۲۱۶، پست الکترونیک: h.baghani@hsu.ac.ir کد ارجمند: ۰۰۰۰۰۰۳-۰۳۹۲-۹۱۹۲

۳. استاد، گروه مهندسی پرتوپزشکی، دانشکده مهندسی هسته‌ای، دانشگاه شهید بهشتی، تهران، ایران. کد ارجمند: ۰۰۰۰۰۰۲-۵۰۸۰-۰۴۸۲

چکیده

زمینه و هدف: اپلیکاتور Beam shaper یکی از اپلیکاتورهای اختصاصی مورد استفاده در پرتو درمانی حین عمل توسط باریکه الکترون است که معمولاً برای پرتو دهی تومورهای بزرگ استفاده می‌شود. به دلیل وزن زیاد و عدم امکان قرار گیری مستقیم بر روی بدن بیمار، فاصله هوایی قابل توجهی میان این اپلیکاتور و بیمار به وجود می‌آید؛ بنابراین، دانستن موقعیت مؤثر چشمکه الکترون Medical Radiation Engineering, Faculty of Nuclear Engineering, Shahid Beheshti University, Tehran, Iran Medical Radiation Engineering, Faculty of Nuclear Engineering, Shahid Beheshti University, Tehran, Iran تمام میدان‌های مربعی حاصل از اپلیکاتور Beam shaper در انرژی‌های مختلف الکترون با استفاده از شبیه‌سازی مونت کارلو است.

مواد و روش‌ها: ابتدا سر شتاب دهنده LIAC به همراه اپلیکاتور Beam shaper توسط کد مونت کارلوی MCNPX شیوه-سازی گردید و سپس اعتبار مدل شبیه‌سازی شده از طریق مقایسه منحنی‌های درصد دوز عمقی محاسبه شده در میدان‌ها و انرژی‌های مختلف با مقادیر عملی متناظر، مورد ارزیابی قرار گرفت. پس از اعتبارسنجی مدل شبیه‌سازی شده، SSD_{eff} برای ابعاد میدان‌ها و انرژی‌های مختلف الکترون با استفاده از روش عکس مجازور فاصله (ISL) تعیین گردید.

یافته‌ها: نتایج به دست آمده نشان داد که SSD_{eff} تابعی از انرژی الکترون و اندازه میدان تابش است. وابستگی SSD_{eff} به تغییرات ابعاد میدان به مرتب بیشتر از تغییر انرژی الکترون بود. به طور کلی با افزایش ابعاد میدان یا انرژی باریکه الکترون SSD_{eff} نیز افزایش می‌یابد.

نتیجه‌گیری: مقادیر SSD_{eff} تعیین شده برای باریکه الکترون اپلیکاتور Beam shaper در مطالعه حاضر، می‌تواند جهت اصلاح خروجی باریکه الکترون در مقاصد بالینی به کار گرفته شود.

واژه‌های کلیدی: موقعیت مؤثر چشمکه الکترون (SSD_{eff}), پرتو درمانی حین عمل، اپلیکاتور Beam shaper، شبیه‌سازی مونت کارلو، شتاب دهنده اختصاصی LIAC

مقدمه

شتاب دهنده های متحرک اختصاصی برای پرتو درمانی حین عمل در حال حاضر توجه زیادی را به خود معطوف نموده است. به طور کلی سه نوع شتاب دهنده اختصاصی شامل LIAC و NOVAC برای پیاده سازی MobeTron IOERT وجود دارند. این شتاب دهنده های اختصاصی برخلاف شتاب دهنده های معمول دارای مغناطیس منحرف کننده و فک های متحرک در سر شتاب دهنده به منظور انحراف باریکه الکترون و شکل دادن به میدان تابش نمی باشند^(۹). از جمله مزایای شتاب دهنده های اختصاصی پرتو درمانی حین عمل در مقایسه با شتاب دهنده های معمول می توان به آهنگ دوز بسیار بالاتر این شتاب دهنده ها که باعث کاهش بسیار چشمگیر زمان پرتو دهی می شود و میزان آلودگی فوتونی بسیار کمتر آن ها که امکان پیاده سازی پرتو درمانی در یک اتاق عمل استاندارد حفاظت سازی نشده را امکان پذیر می سازد، اشاره کرد^(۱۰, ۱۱). از طرف دیگر این شتاب دهنده ها تنها قادر به تولید الکترون می باشند که در مقایسه با شتاب دهنده های معمول که قادر به تولید فوتون و الکترون در دو مد مجزا می باشند، یک نقص به شمار می آید. همچنین به علت استفاده از باریکه الکترون با آهنگ دوز بسیار بالا (تا هفتاد میلی گری بر پالس^(۱۰)) دوزی متربی و کالیبراسیون این شتاب دهنده های اختصاصی در مقایسه با شتاب دهنده های معمول کار مشکل و پیچیده تری است^(۱۲). موازی سازی باریکه الکترون در شتاب دهنده های پرتو درمانی حین عمل کاملاً با شتاب دهنده های معمول متفاوت است، به طوری که موازی سازی باریکه الکترون در این شتاب دهنده های اختصاصی پرتو درمانی حین عمل از طریق به کار گیری یک سری اپلیکاتور طولی خاص با سطح مقطع های دایره ای، بیضوی، مستطیلی و مربعی از جنس پلاستیک و یا فلز انجام می شود^(۱, ۶). مرسم ترین اپلیکاتور های مورد استفاده با شتاب دهنده های پرتو درمانی حین عمل اپلیکاتور های دایره ای با حداکثر قطر ۱۰ سانتی متر هستند. این اپلیکاتور ها در درمان نواحی با موقعیت آنatomیک پیچیده (نظیر

پرتو درمانی حین عمل (IORT) یکی از روش های خاص پرتو درمانی است که در طی آن دوز های بسیار بالایی از مرتبه ۱۰ تا ۲۰ گری بلا فاصله پس از عمل جراحی به بستر تومور داده می شود^(۱). پرتو دهی به بستر تومور بعد از جراحی به منظور اطمینان از نابودی کامل سلول های میکرو سکوپیک تومور (باقیمانده از جراحی) است و برای جلوگیری از عود مجدد تومور صورت می پذیرد^(۲). این روش با سابقه ای با بیش از یک قرن، ابتدا توسط متخصصان ژاپنی و سپس در دهه ۸۰ میلادی در آمریکا گسترش یافت. در حقیقت پیشینه IORT به تلاش های هوشمندانه آبه (Mitsuyuki Abe) از ژاپن بر می گردد که بعدها توسط پروفسور کالوو (Felipe A Calvo) از اسپانیا ادامه یافته است^(۳-۵). به طور کلی IORT با استفاده از پرتو های فوتونی و الکترونی قابل انجام است. تکنیک های بالینی IORT با در نظر گرفتن روش خاص درمانی و تجهیزات مورد استفاده به سه دسته کلی پرتو درمانی حین عمل با Intraoperative Electron Radiation HDR-Low KV-IORT، IOERT و IORT تقسیم بندی می شود^(۶, ۱). در روش IOERT از یک باریکه الکترونی برای پرتو دهی به بستر تومور استفاده می شود. IOERT به دلیل توزیع دوز یکنواخت باریکه الکترونی و عمق نفوذ محدود الکترون مرسوم تر از روش های دیگر است^(۷, ۸)؛ دوز حاصل از باریکه الکترون به دلیل برد کوتاه، در فاصله چند سانتی متری از سطح فروودی پرتو توزیع شده و به عمق های بیشتر بافت نفوذ پیدا نمی کند، در نتیجه بافت های سالم تا حد زیادی از خطر پرتو گیری در امان می مانند. این ویژگی سبب حفظ بافت های سالم قرار گرفته در زیر بستر تومور می گردد. برای پیاده سازی IOERT هم می توان از شتاب دهنده های خطی مرسوم و هم از شتاب دهنده های متحرک اختصاصی طراحی شده برای این منظور استفاده کرد^(۳). استفاده از این

برای این اثرات اصلاح نمود(۱۵، ۱۶). برخلاف باریکه فتوون که از یک نقطه تولید می‌شود، نمی‌توان منشأ مشخصی را به عنوان محل تولید باریکه الکترون در شتابدهنده‌های خطی در نظر گرفت. باریکه الکترون در یک نقطه کانونی در بالای فویل پراکندگی پدیدار می‌شود که به این نقطه اصطلاحاً چشمِ مؤثر الکترون می‌گویند(۱۷). فاصله بین این چشمِ مؤثر و انتهای اپلیکاتور effective IORT را موقعیت مؤثر چشمِ الکترون (source to surface distance, SSD_{eff}) می‌گویند که یک پارامتر مفید برای اصلاح خروجی شتابدهنده با تغییر فاصله از سطح اپلیکاتور است(۱۶، ۱۸). هدف از این پژوهش، تعیین موقعیت مؤثر باریکه الکترون حاصل از اپلیکاتور Beam shaper برای تمامی میدان‌های مربعی قابل تولید توسط این اپلیکاتور با استفاده از محاسبات مونت-کارلو بوده تا از این طریق بتوان تغییرات خروجی اپلیکاتور به دلیل وجود فاصله هوا میان سطح اپلیکاتور و بدن بیمار را در طی پرتودهی لحظه نمود.

مواد و روش‌ها

شتابدهنده اختصاصی :LIACTM

شتابدهنده پرتو درمانی حین عمل LIACTM دارای دو مدل ۱۰ MeV و ۱۲ MeV است. مدل ۱۲ MeV قادر به تولید الکترون با انرژی‌های ۶، ۸، ۱۰ و ۱۲ MeV است. وزن این شتابدهنده برابر ۴۰۰ کیلوگرم است و ابعادی برابر ۱۲۰ cm طول، ۸۰ cm عرض و ۱۸۰ cm ارتفاع دارد. در این شتابدهنده هیچ نوع مغناطیس منحرف کننده برای باریکه الکترون وجود ندارد که این ویژگی میزان آلدگی فتوونی را تا حد قابل قبولی کاهش می‌دهد. همچنین این شتابدهنده برای پهن کردن باریکه الکترون، به یک فویل پراکنده ساز آلومینیومی با ضخامت ۸۲۰ μm مجهز است؛ علت اصلی استفاده از فویل آلومینیومی کاهش میزان آلدگی فتوونی و نوترونی در انرژی‌های بالا است(۱۹)،

تمورهای داخل شکم) با مشکل مطابقت اندازه میدان با بستر تمور مواجه هستند، چراکه ابعاد میدان حاصل از این اپلیکاتورها برای پوشش مناسب نواحی بزرگی چون تمورهای داخل شکم ناکافی است. برای رفع این مشکل می‌توان از چند میدان تابش دایره‌ای استفاده انجام داد؛ ولی به دلیل دایره‌ای بودن مقطع اپلیکاتورهای مورد استفاده ممکن است در بخش‌هایی از بافتِ هدف هم پوشانی میدان وجود داشته باشد و باعث ایجاد Hotspot گردد و یا بخش‌هایی از هدف درمان به‌طور کامل توسط میدان تابش پوشش داده نشود و توزیع دوز را ناهمگن نماید(۱۳). برای غلبه بر این مشکل نیاز به اپلیکاتورهایی با مقطع مستطیلی یا مربعی است تا با چینش مناسب آن‌ها در کنار هم کل بافت هدف را با یک توزیع دوز یکنواخت، تحت درمان قرارداد. یکی از اپلیکاتورهای مورد استفاده برای این منظور اپلیکاتور Beam shaper است. این اپلیکاتور، با تنظیم پیوسته شکل میدان با استفاده از یک سری تیغه‌ضخیم قادر به تولید میدان‌های مربعی و مستطیلی با ابعاد مختلف است که با این کار علاوه بر فراهم نمودن میدان‌های درمانی مناسب برای پوشش کامل تمورهای بزرگ، از پرتوگیری بافت‌های سالم و اندام‌های در خطر موجود در اطراف بستر تمور، به دلیل تضعیف مؤثر باریکه الکترون در داخل تیغه‌ها، جلوگیری می‌نماید(۱۴). به دلیل وزن بالا و عدم امکان قرارگیری آن بر روی بدن بیمار، این اپلیکاتور از طریق یک نگه‌دارنده به تخت متصل شده و در نزدیکی بدن بیمار قرار می‌گیرد که این کار باعث ایجاد یک گاف هوا میان اپلیکاتور و بدن بیمار شده و در نهایت می‌تواند باعث تغییر خروجی اپلیکاتور گردد؛ بنابراین به منظور تحويل دقیق میزان دوز تجویز شده به بیمار و محاسبه صحیح تعداد مانیتور یونیت لازم جهت پرتودهی بیمار، فاکتور خروجی اپلیکاتور (برحسب سانتی‌گری بر مانیتور یونیت) بایستی برای این گاف هوا اصلاح گردد. برای این منظور، موقعیت مؤثر چشمِ الکترون باید در اختیار باشد تا بتوان از طریق قانون عکس مجدور فاصله تغییرات خروجی اپلیکاتور را

(تفلون) با ضخامت $2/6\text{ cm}$ و استیل زنگ نزن با ضخامت $0/8\text{ cm}$ ساخته شده است. لایه تفلونی که دارای ضخامت بیشتری است، برای متوقف کردن باریکه الکترون و لایه استیل که دارای ضخامت کمتری است، برای جذب تابش ترمیزی ناشی از برهمنکش الکترون در تفلون مورد استفاده می‌گیرد. قسمت استوانه‌ای شکل اپلیکاتور از جنس PMMA با ضخامت $0/5\text{ cm}$ و طول 25 cm ساخته شده است. ابعاد این اپلیکاتور $31 \times 25 \times 25\text{ cm}^3$ است که وزنی حدود $8/2\text{ kg}$ دارد. به دلیل وزن نسبتاً بالای این اپلیکاتور معمولاً بیک نگهداشته تخت جراحی ثابت می‌شود که علاوه بر نگهداری، دقت مکانی را نیز افزایش می‌دهد (۲۳، ۲۴). نمایی از اپلیکاتور در شکل ۱-ب نشان داده شده است.

۱۳). قابلیت حرکت سر شتاب دهنده در راستای عمودی به اندازه 100 cm ، چرخش سر شتاب دهنده به چپ و راست (roll angle) به اندازه $\pm 60^\circ$ درجه و چرخش سر شتاب دهنده در راستای عرضی (pitch angle) با زوایای به ترتیب 30° و 15° درجه از قابلیت‌های این سیستم است (۲۱، ۲۰). شکل ۱-الف نمایی کلی از این شتاب دهنده به همراه با اپلیکاتور Beam shaper در داخل فانتوم آب را نشان می‌دهد.

۱-الف اپلیکاتور Beam Shaper

اپلیکاتور Beam Shaper از چهار تیغه تشکیل شده است که دو به دو به صورت کشویی باز و بسته می‌شود. حرکت تیغه‌ها وابسته به یکدیگر بوده و تیغه‌های موازی به صورت همزمان حرکت می‌کنند. این تیغه‌ها از دو لایه شامل PTFE



(ب)



(الف)

شکل ۱. شتاب دهنده LIACTM موجود در بیمارستان خاتم الانبیاء تهران همراه با اپلیکاتور Beam shaper (الف) در حال اندازه-گیری پارامترهای دوزیمتری باریکه الکترون در داخل فانتوم آب، (ب) نمایی از اپلیکاتور Beam shaper

محاسبه موقعیت مؤثر چشمکه الکترون:

روش‌های مختلفی برای تعیین موقعیت مؤثر چشمکه الکترون (FWHM) توسعه یافته است که از جمله می‌توان به روش MPC و FWHM عموماً برای اندازه میدان‌های بزرگتر از $20 \times 20\text{ cm}^2$ و انرژی‌های بیشتر از 15 MeV مطرح است (۲۴-۲۶). با توجه به این که میدان‌های تابش تولید شده توسط اپلیکاتور Beam shaper حداکثر برابر

روش‌های مختلفی برای تعیین موقعیت مؤثر چشمکه الکترون (SSD_{eff}) توسعه یافته است که از جمله می‌توان به روش عکس مجدد فاصله (Inverse Square Law, ISL)، Multi Pin-hole Camera، روشن دوربین چند حفره‌ای (Full Width at Half Maximum (FWHM)) و روشن پهنا در نصف مقدار بیشینه (MPC)

$$SSD_{eff} = \frac{1}{slope} - z_{max} \quad (3)$$

بنابراین با تعیین مقادیر $\sqrt{\frac{I_0}{I_g}}$ به ازای فواصل هوایی مختلف میان لبه اپلیکاتور و سطح فانتوم و محاسبه شیب خط مربوطه، می توان موقعیت مؤثر چشمeh (SSD_{eff}) به دست آورد (۲۸)، (۱۷).

شبیه‌سازی مونت کارلو:

به منظور تعیین مقادیر دوز جذبی به ازای فواصل هوایی مختلف میان لبه اپلیکاتور و سطح فانتوم (g) از شبیه‌سازی مونت کارلو استفاده شد. برای این کار ابتدا سر شتاب‌دهنده Beam shaper توسط LIACTM به همراه اپلیکاتور MCNPX ویژگی‌های هندسی و فیزیکی کد مونت کارلوی نسخه ۲۹(۲۶) شبیه‌سازی گردید. اطلاعات هندسی مربوط به سر شتاب‌دهنده و اپلیکاتور Beam shaper و همچنین اطلاعات فیزیکی موردنیاز شامل طیف انرژی و توزیع مکانی باریکه الکترون فرودی بر فویل پراکنده‌ساز، اندازه و مواد سازنده اجزا سر شتاب‌دهنده و اپلیکاتور shaper توسط شرکت سازنده (SORDINA، ایتالیا) تأمین گردید.

برای اعتبارسنجی مدل مونت کارلوی توسعه یافته و اطمینان از صحت عملکرد آن، منحنی‌های درصد دوز عمقی (PDD) حاصل از شبیه‌سازی مونت کارلو با نتایج عملی متناظر که در میدان‌های مربعی $3 \times 3 \text{ cm}^2$ و $9 \times 9 \text{ cm}^2$ و به ازای انرژی‌های اسمی ۶، ۸، ۱۰ و ۱۲ MeV به دست آمده بودند، مقایسه گردید. این مقایسه به صورت کمی و از طریق به کار گیری تحلیل گاما با معیارهای اختلاف دوز٪ و فاصله تا توافق mm^۳ در مورد نتایج به دست آمده، انجام گرفت و در نهایت مقادیر شاخص گاما در عمق‌های مختلف موردنرسی محاسبه شدند (۳۰، ۳۱). قابل ذکر است که مقادیر شاخص گامای کوچک‌تر از یک در برآوردهای تحلیل گاما به عنوان معیاری از وجود تواافق میان نتایج به دست آمده در نظر گرفته شد.

۹×۹ cm² و حداکثر انرژی الکترون شتاب‌دهنده اختصاصی نیز ۱۲ MeV LIACTM است، برای تعیین موقعیت مؤثر چشمeh الکترون در این کار از روش عکس مجدور فاصله استفاده شد. این روش مبتنی بر تعیین دوز جذبی در یک عمق ثابت در داخل فانتوم (معمولًاً عمق دوز بیشینه در امتداد محور مرکزی باریکه الکترون) به ازای گاف‌های هوای مختلف بین سطح فانتوم و انتهای اپلیکاتور بوده که توسط khan و همکاران (۱۹۷۸) معرفی شده است (۲۷). این روش یکی از دقیق‌ترین روش‌ها برای تعیین موقعیت مؤثر چشمeh در کاربردهای بالینی است (۱۶).

بر اساس این روش، به ازای فواصل هوایی مختلف میان لبه اپلیکاتور و سطح فانتوم، میزان دوز جذبی در عمق دوز بیشینه (z_{max}) در داخل فانتوم اندازه گیری می‌شود. فرض کنید I_0 دوز در عمق دوز بیشینه (z_{max}) بدون هیچ فاصله هوایی بین اپلیکاتور و فانتوم (g=0) باشد و I_g دوز در همان عمق به ازای فاصله هوای g باشد. اگر فرض کنیم که موقعیت مؤثر چشمeh الکترون در فاصله SSD_{eff} از سطح فانتوم قرار داشته باشد، بر اساس قانون عکس مجدور فاصله، رابطه بین I_0 و I_g به صورت زیر است:

$$\frac{I_0}{I_g} = \left(\frac{SSD_{eff} + z_{max} + g}{SSD_{eff} + z_{max}} \right)^2, \quad \sqrt{\frac{I_0}{I_g}} = 1 + \frac{g}{SSD_{eff} + z_{max}} \quad (1)$$

مطابق رابطه بالا چنانچه مقادیر $\sqrt{\frac{I_0}{I_g}}$ به ازای فواصل هوایی مختلف بر حسب تابعی از فاصله هوایی (g) رسم شود، یک خط مستقیم به دست خواهد آمد که شیب آن از رابطه زیر به دست می‌آید:

$$slope = \frac{1}{SSD_{eff} + z_{max}} \quad (2)$$

لذا، موقعیت مؤثر چشمeh (SSD_{eff}) را می‌توان با استفاده از رابطه ۳ به دست آورد:

پروتکل TRS-398 و AAPM TG-106^{,۳۴} مونت کارلو در سر (۳۳) صورت پذيرفت.

پس از اعتبارسنجی مدل مونت کارلوی مربوط به سر شتاب دهنده LIACTM و اپليکاتور Beam shaper متصل به آن، مقادير دوز جذبي در عمق دوز ييشينه به ازاي فواصل هوايي مختلف اپليکاتور از سطح فانتوم آب (I_g) و محاسبه و

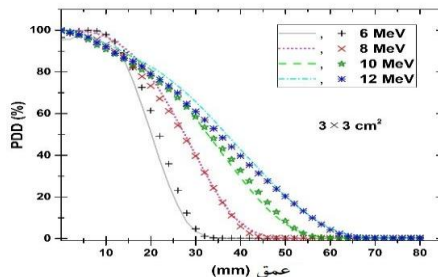
مقادير $\sqrt{\frac{I_0}{I_g}}$ تعين گردید. در نهايت مطابق روش شرح داده شده در بالا، موقعیت مؤثر چشمکه الکترون در انرژی ها و ابعاد ميدان های مختلف محاسبه گردید. قابل ذكر است که فواصل هوايي در نظر گرفته شده (گاف های هوا) ميان سطح اپليکاتور و فانتوم در اين مطالعه برابر صفر، ۴، ۸، ۱۲ و ۱۶ سانتي متر بود و محاسبات مربوط به موقعیت مؤثر چشمکه الکترون برای تمام ابعاد ميدان های تولید شده توسط اپليکاتور Beam shaper از $3 \times 3 \text{ cm}^2$ تا $9 \times 9 \text{ cm}^2$ (با گام های ۱ cm^2) در انرژی های مختلف ۶، ۸، ۱۰ و MeV ۱۲ صورت پذيرفت. هر چند که تعیین موقعیت مؤثر چشمکه الکترون با استفاده از اندازه گيري تجربی نيز امکان پذير است؛ اما علت استفاده از شبیه سازی مونت کارلو در مطالعه حاضر تعدد ميدان های تابشي و انرژی های الکترون مورد مطالعه بود که باعث ايجاد بار كاري بيش از حد دستگاه در حين انجام پرتودهی های تجربی خواهد شد. با اين وجود و به منظور راستي آزمایي مقادير SSD_{eff} حاصل از شبیه سازی مونت کارلو، داده های شبیه سازی با داده های اندازه گيري شده متاظر در ميدان های مربعی $3 \times 3 \text{ cm}^2$ و $9 \times 9 \text{ cm}^2$ به طور کمی مورد مقایسه قرار گرفتند.

يافته ها

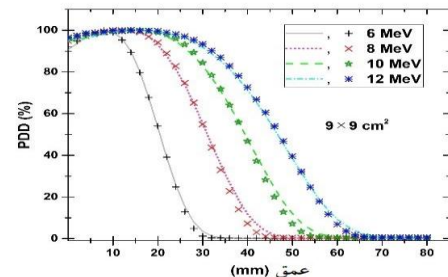
منحنی های درصد دوز عمقی حاصل از شبیه سازی مونت کارلو در ميدان های مربعی $3 \times 3 \text{ cm}^2$ و $9 \times 9 \text{ cm}^2$ به ازاي انرژی های اسمی ۶، ۸، ۱۰ و ۱۲ MeV به صورت اشکال هندسي رنگی در شکل ۲ نمایش داده شده اند. خطوط (توبير، نقطه چين و ...) رنگی نيز نشان دهنده نتایج

منحنی های درصد دوز عمقی حاصل از شبیه سازی مونت کارلو در داخل يك فانتوم آب به ابعاد $15 \times 30 \times 30$ به دست آمد. برای محاسبه منحنی درصد دوز عمقی در انرژی ها و ميدان های مختلف، ابتدا لبه اپليکاتور شبیه سازی شده در تماس با سطح فانتوم قرار داده شد و سپس منحنیتوزيع دوز عمقی در امتداد محور باليني اپليکاتور از طریق تعریف سلول های استوانه ای به قطر 0.5 cm و ضخامت 0.2 cm محاسبه گردید. برای اندازه گيري میزان دوز جذب شده از تالی استاندارد F8* استفاده شد. شایان ذکر است که تمامي شبیه سازی های انجام شده از طریق ترايبرد پانصد ميليون ذره به اجرا در آمد و میزان خطای آماری مربوط به نتایج حاصل از شبیه سازی در تمام موارد كمتر از ۱٪ به دست آمد. به علاوه از هیچ گونه تکنيک کاهش وارياني در شبیه سازی های انجام شده استفاده نشد. تنها به منظور کاهش زمان محاسبات، به دليل ترايبرد هم زمان فوتون و الکترون، از کارت قطع انرژی 0.5 MeV و 0.01 MeV ، به ترتیب برای الکترون و فوتون استفاده گردید (۳۲، ۳۳). اندازه گيري عملی منحنی های PDD در داخل يك فانتوم آب اتوماتيك MP3-XS و Advanced توسيط به کار گيري يك اتفاک يونش Markus گيري ها لبه اپليکاتور در تماس با سطح آب قرار داده شد. برای کنترل حرکات دوزيمتر ميدان در داخل فانتوم آب و قرائت پاسخ آن به ترتیب از کنترل کننده TBA و الکترومتر ديجيتال TANDEM استفاده گردید. همچنین از يك اتفاک يونش استوانه ای Semiflex نيز به عنوان دوزيمتر مرجع در طی اندازه گيري ها استفاده شد تا اثرات ناشی از تغيير خروجي شتاب دهنده در مدت زمان اندازه گيري را اصلاح نماید. قابل ذكر است که اندازه گيري های مربوط به PDD با گام های ۲ ميلی متری در داخل فانتوم آب صورت پذيرفت. برای جمع آوري و تحليل داده های دوزيمتری عملی از نرم افزار mephysto navigator استفاده شد. شایان ذکر است که تمام اندازه گيري ها مطابق توصيه های

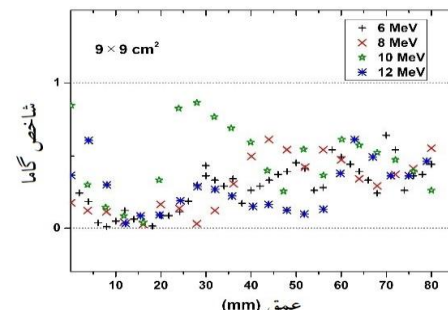
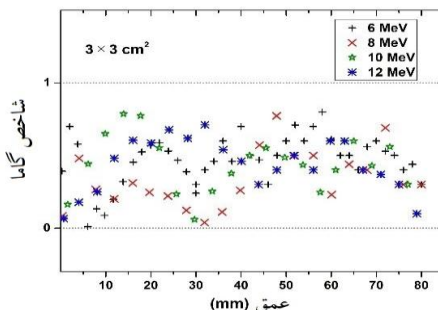
حاصل از تحلیل گاما نشان می‌دهد که در تمام عمق‌های مورد بررسی مقدار شاخص گاما کوچک‌تر از یک است که این نتیجه معیاری از وجود یک توافق مطلوب میان نتایج حاصل از شبیه‌سازی و اندازه‌گیری تجربی است؛ بنابراین با توجه به نتایج به دست آمده صحت مدل مونت کارلوی شبیه‌سازی شده در این مطالعه مورد تائید قرار می‌گیرد.



حاصل از دوزیمتری عملی توسط اتاقک یونش Advanced Markus می‌باشدند. همان‌طور که از نتایج به دست آمده پیداست، به لحاظ کیفی توافق خوبی میان نتایج به دست آمده وجود دارد. در شکل ۳ نیز مقادیر شاخص گاما برای میدان‌های مربعی $3 \times 3 \text{ cm}^2$ و $9 \times 9 \text{ cm}^2$ در انرژی‌های $6, 8, 10$ و 12 MeV آورده شده است. نتایج



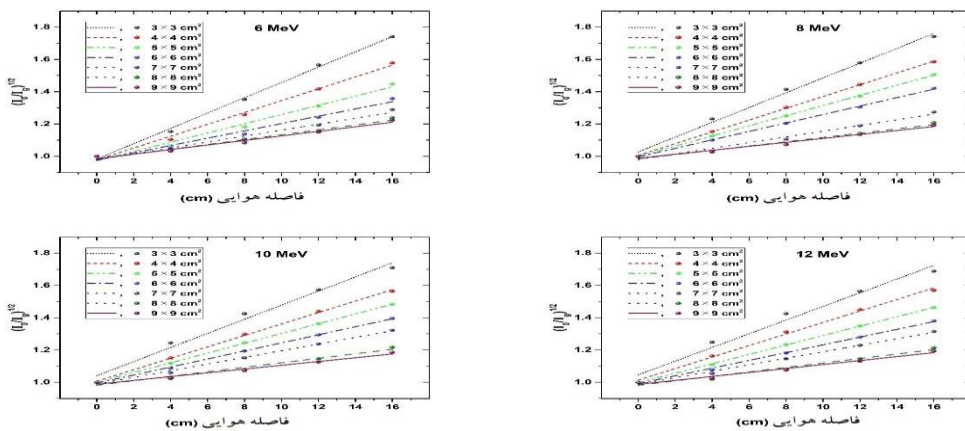
شکل ۲. منحنی‌های درصد دوز عمقی. نتایج حاصل از شبیه‌سازی مونت کارلو و اندازه‌گیری عملی برای میدان‌های مربعی $3 \times 3 \text{ cm}^2$ و $9 \times 9 \text{ cm}^2$ در انرژی‌های $6, 8, 10$ و 12 MeV به ترتیب به صورت شکل‌های هندسی (به علاوه، ضربدر و...) و خطوط (توبیر، نقطه‌چین و ...) نمایش داده شده‌اند.



شکل ۳. مقادیر شاخص گاما. این مقادیر برای میدان‌های مربعی $3 \times 3 \text{ cm}^2$ و $9 \times 9 \text{ cm}^2$ در انرژی‌های $6, 8, 10$ و 12 MeV داده شده است. این مقایسه به صورت کمی و از طریق به کار گیری تحلیل گاما با معیارهای اختلاف دوز $\%/\%$ و فاصله تا توافق 3 mm بین نتایج حاصل از محاسبات مونت کارلو و اندازه‌گیری عملی به دست آمده است.

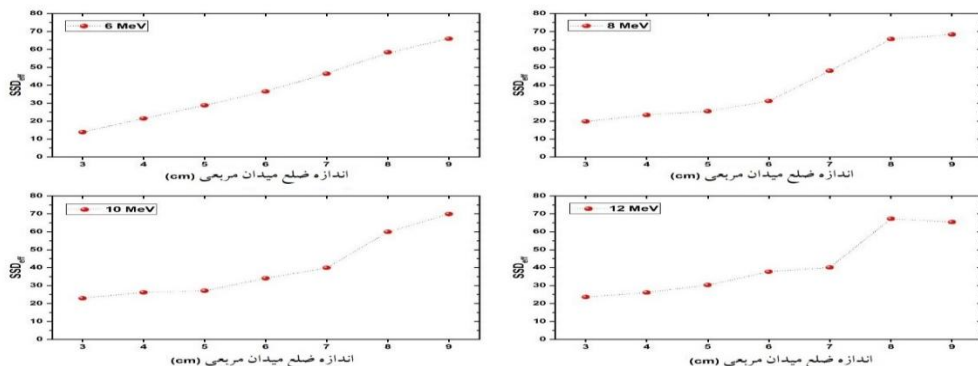
آمده است. مقادیر R-Square مربوط به منحنی‌های خطی برآش شده بر داده‌های شکل ۴ در تمامی موارد (میدان‌های تابش و انرژی‌های الکترون موردمطالعه) بزرگ‌تر از 0.99 بود که نشان از وجود یک رابطه خطی میان مقادیر $\sqrt{\frac{I_0}{I_g}}$ و فواصل هوایی (g) در نظر گرفته شده در تعیین SSD_{eff} است.

مقادیر $\sqrt{\frac{I_0}{I_g}}$ بر حسب تابع از فاصله هوایی (g) که با استفاده از شبیه‌سازی مونت کارلو برای ابعاد میدان‌های مختلف cm^2 در انرژی‌های $6, 8, 10$ و 12 MeV تا $3 \times 3 \text{ cm}^2$ و $9 \times 9 \text{ cm}^2$ نمایش داده شده است. قبل ذکر است که آمده در شکل ۴ نمایش داده شده است. مقادیر $\sqrt{\frac{I_0}{I_g}}$ در تمامی میدان‌ها و انرژی‌های موردمطالعه، به ازای فواصل هوایی صفر، $4, 8, 12$ و 16 cm به دست



شکل ۴. مقادیر $\sqrt{\frac{I_0}{I_g}}$ بر حسب تابع از فاصله هوای. نتایج حاصل از به کار گیری روش عکس مجذور فاصله (ISL) در میدان های مختلف مربعی حاصل از اپلیکاتور Beam shaper به ازای انرژی های ۶، ۸، ۱۰ و ۱۲ MeV جهت تعیین موقعیت مؤثر چشمکه الکترون.

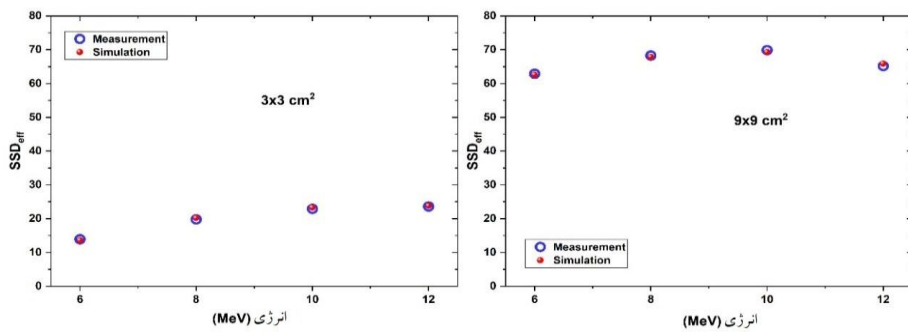
با تعیین شیب خطوط نشان داده در شکل ۴ به ازای هر میدان و انرژی الکترون، موقعیت مؤثر چشمکه الکترون (SSD_{eff}) بر اساس روش عکس مجذور فاصله (ISL) و با استفاده از رابطه (۳) بدست آمد. نتایج حاصل از محاسبه موقعیت مؤثر چشمکه الکترون به ازای انرژی ها و ابعاد میدان مختلف در شکل ۵ آورده شده است.



شکل ۵. موقعیت مؤثر چشمکه الکترون. مقادیر موقعیت مؤثر چشمکه الکترون (بر حسب سانتی متر) مربوط به میدان های مختلف مربعی حاصل از اپلیکاتور Beam shaper در انرژی های گوناگون. برای هر انرژی مقادیر مربوط به اندازه میدان خاص به صورت دایره توخالی آمده است که برای نمایان تر شدن رفتار با افزایش انرژی این مقادیر به وسیله نقطه چین به هم متصل شده اند.

و به ازای میدان های مربعی $3 \times 3 \text{ cm}^2$ و $9 \times 9 \text{ cm}^2$ نیز در شکل ۶ نشان داده شده است.

مقایسه میان نتایج حاصل از اندازه گیری عملی و شیوه سازی مونت کارلو در تعیین مقادیر SSD_{eff} در انرژی های مختلف



شکل ۶. مقادیر SSD_{eff} حاصل از شبیه‌سازی مونت کارلو و اندازه‌گیری عملی برای میدان‌های مربعی $3 \times 3 \text{ cm}^2$ و $9 \times 9 \text{ cm}^2$ در انرژی‌های ۶، ۸، ۱۰ و ۱۲ MeV. نتایج تجربی به صورت دایره توخالی و نتایج حاصل از محاسبات مونت کارلو به صورت گوی توپر نمایش داده شده‌اند.

نتایج بدست آمده در شکل ۴ نشان می‌دهد که با افزایش ابعاد میدان در یک انرژی مشخص، شیب خط مستقیم کاهش می‌یابد. این واقعیت را می‌توان با توجه به کاهش شار انرژی الکترون‌ها با افزایش ابعاد میدان توجیه نمود. برخلاف شتاب‌دهنده‌های معمول شار انرژی الکترون پرتو درمانی حین عمل با افزایش ابعاد میدان، به دلیل سیستم موافقی سازی متفاوت باریکه الکترون، کاهش می‌یابد (۳۷، ۳۶، ۹)؛ بنابراین، با افزایش اندازه میدان میزان دوز جذب-شده در عمق دوز بیشینه کاهش یافته (این کاهش برای I_0 نسبت به I_g محسوس‌تر است) و از این‌رو انتظار می‌رود که شیب خطوط کاهش یابد.

با توجه به نتایج گزارش شده شکل ۵ می‌توان گفت که با افزایش ابعاد میدان در یک انرژی مشخص موقعیت مؤثر چشمی الکترون (SSD_{eff}) نیز افزایش می‌یابد. همان‌طور که قبل ذکر شد، با افزایش ابعاد میدان در یک انرژی مشخص شیب خط مربوط به تغییرات $\sqrt{\frac{I_0}{I_g}}$ کاهش یافته و مطابق رابطه (۳) انتظار می‌رود که موقعیت مؤثر چشمی الکترون (SSD_{eff}) افزایش یابد. از طرف دیگر با تغییر انرژی الکترون در یک میدان مشخص، موقعیت مؤثر چشمی الکترون (SSD_{eff}) روند تغییرات منظمی را از خود نشان نمی‌دهد، هرچند که در بیشتر موارد یک روند افزایشی در SSD_{eff} با افزایش انرژی الکtron مشاهده می‌شود. با

بحث

در این پژوهش به ارزیابی موقعیت مؤثر چشمی الکترون (SSD_{eff}) مربوط به اپلیکاتور Beam shaper که همراه با LIACTM شتاب‌دهنده اختصاصی پرتو درمانی حین عمل مورد استفاده قرار می‌گیرد پرداخته شد. برای این کار ابتدا مدل مونت کارلوی سر شتاب‌دهنده LIACTM به همراه اپلیکاتور Beam shaper توسط کد MCNPX شبیه‌سازی و پس از اعتبارسنجی مدل توسعه یافته، موقعیت مؤثر چشمی الکترون به ازای میدان‌ها و انرژی‌های مختلف با استفاده از روش عکس محدود فاصله (ISL) بدست آمد.

نتایج بدست آمده در شکل‌های ۲ و ۳ صحبت عملکرد مدل مونت کارلوی مورد استفاده در این پژوهش را مورد تائید قرار داد. همان‌طور که در شکل ۲ ملاحظه می‌شود، با افزایش انرژی، عمق نفوذ باریکه الکترون افزایش و گرادیان دوز در عمق کاهش می‌یابد که با توجه به افزایش متوسط انرژی باریکه الکترون امری منطقی است (۳۵، ۳۷). در اغلب موارد بیشینه دوز در سطح و یا در نواحی نزدیک به سطح قرار می‌گیرد که با توجه به مدنظر قرار گرفتن سطح به عنوان بخشی از هدف در پرتو درمانی حین عمل، یک ویژگی مطلوب تلقی می‌گردد. بعلاوه همان‌طور که انتظار می‌رود، با افزایش میزان انرژی الکترون درصد دوز سطح نیز افزایش می‌یابد (۹).

نتیجه‌گیری

نتایج به دست آمده نشان داد که موقعیت مؤثر باریکه الکترون خارج شده از اپلیکاتور Beam shaper تابعی از انرژی الکترون و اندازه میدان مورد مطالعه است. وابستگی SSD_{eff} به ابعاد میدان به مراتب بیشتر از انرژی الکترون بود. با توجه به وزن زیاد این اپلیکاتور و عدم امکان قرار گیری مستقیم بر روی بدن بیمار، وجود فاصله هوا میان انتهای اپلیکاتور و بدن بیمار در هنگام استفاده از وسیله برای پرتودهی بیمار اجتناب ناپذیر خواهد بود؛ بنابراین در اختیار داشتن مقادیر جدول‌بندی شده SSD_{eff} در میدان‌ها و انرژی‌های مختلف باریکه الکترون حاصل از این اپلیکاتور امری ضروری است تا این طریق بتوان تغییرات خروجی باریکه الکترون به ازای فواصل هوا بیان متحلف را محاسبه و اثر آن را در محاسبات دوز بیمار و تعداد مانیتور یونیت لازم جهت تحويل میزان دوز تجویز شده به بیمار در نظر گرفت؛ بنابراین مقادیر SSD_{eff} به دست آمده در این پژوهش می‌توانند در این مقاصد بالینی مورد استفاده قرار گیرند.

تشکر و قدردانی

نویسنده‌گان مقاله، مراتب قدردانی خود را از مسئولان و پرستل فیزیک بیمارستان خاتم الانبیاء تهران اعلام می‌دارند.

افزایش انرژی الکترون در یک میدان مشخص، احتمال پراکندگی الکترون در هنگام عبور از محیط کاهش یافته؛ لذا میزان دوز رسیده به عمق دوز بیشینه در حضور فاصله هوایی g افزایش می‌یابد(۱۳)؛ بنابراین می‌توان انتظار داشت که نسبت $\sqrt{\frac{I_0}{I_g}}$ با افزایش انرژی الکترون کاهش یافته؛ لذا شب خط راست نمایش داده شده در شکل ۴ کاهش یابد. در نهایت و با توجه به رابطه (۳) می‌توان نتیجه گرفت که موقعیت مؤثر چشمۀ الکترون (SSD_{eff}) با افزایش انرژی باریکه، افزایش می‌یابد.

با مقایسه نتایج حاصل از اندازه‌گیری تجربی و شبیه‌سازی مونت کارلو در تعیین موقعیت مؤثر چشمۀ الکترون که در شکل ۶ نمایش داده شده است، می‌توان به این نتیجه رسید که توافق مطلوبی میان مقادیر SSD_{eff} به دست آمده در انرژی‌های مختلف باریکه الکترون پرتو درمانی حین عمل وجود دارد، به طوری که بیشترین اختلاف میان نتایج حاصل از شبیه‌سازی و اندازه‌گیری تجربی در میدان‌های $3 \times 3 \text{ cm}^2$ و $9 \times 9 \text{ cm}^2$ به ترتیب برابر $2/2$ و $1/1$ درصد بود. این نتیجه صحت مقادیر SSD_{eff} حاصل از شبیه‌سازی مونت کارلو را مورد تائید قرار داده و روش مونت کارلو را به یکی از ابزارهای قدرتمند و قابل اعتماد در تعیین موقعیت مؤثر چشمۀ الکترون شتاب‌دهنده‌های مورداستفاده در پرتو درمانی تبدیل می‌سازد.

منابع

- Willett CG, Czito BG, Tyler DS. Intraoperative radiation therapy. J Clin Oncol. 2007;25(8):971-7.
- Harrison LB, Minsky BD, Enker WE, Mychalczak B, Guillem J, Paty PB, et al. High dose rate intraoperative radiation therapy (HDR-IORT) as part of the management strategy for locally advanced primary and recurrent rectal cancer. Int J Radiat Oncol Biol Phys. 1998;42(2):325-30.
- Calvo F, Sole C, Herranz R, Lopez-Bote M, Pascau J, Santos A, et al. Intraoperative radiotherapy with electrons: fundamentals ,results, and innovation. Ecancermedicalscience. 2013;7:339.
- Abe M, Takahashi M. Intraoperative radiotherapy: the Japanese experience. Int J Radiat Oncol Biol Phys. 1981;7(7):863-8.
- Goldson AL. Preliminary Clinical Experience with Intraoperative Radiotherapy. J Natl Med Assoc. 1978;70(7):493-5.
- Willett CG. Intraoperative radiation therapy. Int J Clin Oncol. 2001;6(5):209-14.
- Orecchia R, Ciocca M, Tosi G, Franzetti S, Luini A, Gatti G, et al. Intraoperative electron beam

- radiotherapy (ELIOT) to the breast: a need for a quality assurance programme. *Breast.* 2005;14(6):541-6.
- 8 Heidarloo N, Baghani HR, Aghamiri SM, Mahdavi SR, Akbari ME. Commissioning of beam shaper applicator for conformal intraoperative electron radiotherapy. *Appl Radiat Isot.* 2017;123:69-81.
9. Baghani HR, Aghamiri SM, Mahdavi SR, Akbari ME, Mirzaei HR. Comparing the dosimetric characteristics of the electron beam from dedicated intraoperative and conventional radiotherapy accelerators. *J Appl Clin Med Phys.* 2015;16(2):5017.
10. Scalchi P, Ciccotelli A, Felici G, Petrucci A, Massafra R, Piazz V, et al. Use of parallel- plate ionization chambers in reference dosimetry of NOVAC and LIAC® mobile electron linear accelerators for intraoperative radiotherapy: a multi- center survey. *Med Phys.* 2016;44(1):321-32.
11. Baghani HR, Hosseini Aghdam SR, Robatjazi M, Mahdavi SR. Monte Carlo-based determination of radiation leakage dose around a dedicated IOERT accelerator. *Radiat Environ Biophys.* 2019;58:263-76.
12. Baghani HR, Robatjazi M, Mahdavi SR ,Hosseini Aghdam SR. Evaluating the performance characteristics of some ion chamber dosimeters in high dose per pulse intraoperative electron beam radiation therapy. *Phys Med.* 2019;58:81-9.
13. Soriani A, Iaccarino G, Felici G, Ciccotelli A, Pinnaro P, Giordano C, et al. Development and optimization of a beam shaper device for a mobile dedicated IOERT accelerator. *Med Phys.* 2012;39(10):6080-9.
14. Felici G, Ciccotelli A, Iacoboni V, De Angelis F, Mangiaracina N, Gava A. Device for shaping an electron beam of a machine for intraoperative radiation therapy. Google Patents; 2014.
15. Ciocca M, Pedroli G, Orecchia R, Guido A, Cattani F, Cambria R, et al. Radiation survey around a Liac mobile electron linear accelerator for intraoperative radiation therapy. *J Appl Clin Med Phys.* 2009;10(2):2950.
16. Hosseini Aghdam SR, Baghani HR, Mahdavi SR, Aghamiri MR, Akbari ME. Monte Carlo study on effective source to surface distance for electron beams from a mobile dedicated IORT accelerator. *J Radiother Pract.* 2016;16(1):29-37.
17. Khan FM, Gibbons JP. Khan's The Physics of Radiation Therapy. China: Wolters Kluwer Health; 2014.
18. Cecatti ER, Goncalves JF, Cecatti SG, da Penha Silva M. Effect of the accelerator design on the position of the effective electron source. *Med Phys.* 1983;10(5):683-6.
19. Righi S, Karaj E, Felici G, Di Martino F. Dosimetric characteristics of electron beams produced by two mobile accelerators, Novac7 and Liac, for intraoperative radiation therapy through Monte Carlo simulation. *J Appl Clin Med Phys.* 2013;14(1):3678.
20. Sordina. LIAC Technical Data Sheet. Sordina IORT Technologies. 2015.
21. Heidarloo N, Baghani HR, Aghamiri SMR, Mahdavi SR. Monte Carlo based simulation of LIAC intraoperative radiotherapy accelerator along with beam shaper applicator. *IJPR.* 2017;17(2):313-20.
22. Felici G. Technical Data Sheet of Beam Shaper Device. Sordina IORT Technologies. 2014.
23. Baghani HR, Heidarloo N, Aghamiri SMR, Mahdavi SR. Comparing the physical and dosimetric characteristics of cylindrical and beam shaper intraoperative radiotherapy applicators. *Radiat Phys Chem.* 2019;158:22-36.
24. Ravindran BP. A study on virtual source position for electron beams from a Mevatron MD linear accelerator. *Phys Med Biol.* 1999;44(5):1309-15.
25. Meyer JA, Palta JR ,Hogstrom KR. Demonstration of relatively new electron dosimetry measurement techniques on the Mevatron 80. *Med Phys.* 1984;11(5):670-7.
26. Jamshidi A, Kuchnir FT, Reft CS. Determination of the source position for the electron beams

- from a high-energy linear accelerator. *Med Phys.* 1986;13(6):942-8.
27. Khan FM, Sewchand W, Levitt SH. Effect of air space and depth dose in electron beam therapy. *Radiology.* 1978;126(1):249-51.
28. Podgorsak EB. Review of radiation oncology physics: a handbook for teachers and students. Vienna, International Atomic Energy Agency Educational reports series. 2003.
29. Hendricks JS, McKinney GW, Fensin ML, James MR, Johns RC, Durkee JW, et al. MCNPX 2.6. 0 Extensions. Los Alamos National Laboratory, LA-UR-08-2216. 2008.
30. Low DA, Dempsey JF. Evaluation of the gamma dose distribution comparison method. *Med Phys.* 2003;30(9):2455-64.
31. Low DA, Harms WB, Mutic S, Purdy JA. A technique for the quantitative evaluation of dose distributions. *Med Phys.* 1998;25(5):656-61.
32. Iaccarino G, Strigari L, D'Andrea M, Bellesi L, Felici G, Ciccotelli A, et al. Monte Carlo simulation of electron beams generated by a 12 MeV dedicated mobile IORT accelerator. *Phys Med Biol.* 2011;56(14):4579-96.
33. Das IJ, Cheng CW, Watts RJ, Ahnesjo A, Gibbons J, Li XA, et al. Accelerator beam data commissioning equipment and procedures: report of the TG-106 of the Therapy Physics Committee of the AAPM. *Med Phys.* 2008;35(9):4186-215.
34. IAEA. Absorbed dose determination in external beam radiotherapy: An international code of practice for dosimetry based on standards of absorbed dose to water. TRS 398. 2000.
35. Chang D, Lasley F, Das I, Mendonca M, Dynlacht J. Dosimetry of Photon Beams in Water. *Basic Radiotherapy Physics and Biology*: Springer International Publishing; 2014. 77-92.
36. Pimpinella M, Mihailescu D, Guerra AS, Laitano RF. Dosimetric characteristics of electron beams produced by a mobile accelerator for IORT. *Phys Med Biol.* 2007;52(20):6197-214.
37. Heidarloo N, Baghani HR, Aghamiri MR, Mahdavi sR. Evaluating the Photon Contamination of Beam Shaper Applicator Using Monte Carlo Simulation. *JMUMS.* 2016;26(140):212-7.